

## بسط و پیاده‌سازی الگوریتم Convolution برای محاسبه دوز تابش فوتون در پرتو درمانی

دکتر کیوان جباری<sup>۱</sup>، دکتر محمد باقر توکلی<sup>۲</sup>، سید مجتبی حسینی<sup>۳</sup>

### چکیده

**مقدمه:** یکی از روش‌های بسیار پر کاربرد در درمان بیماری سلطان پرتو درمانی است. هدف در پرتو درمانی رساندن بیشترین مقدار دوز به بافت‌های سرطانی و کمترین مقدار به بافت‌های سالم مجاور می‌باشد. به همین دلیل محاسبه دوز رسیده به نقاط مختلف بدن قبل از تابش پرتو از اهمیت ویژه‌ای برخوردار است. این محاسبات توسط سیستم طراحی درمان انجام می‌گیرد. پایه‌ی یک سیستم طراحی درمان الگوریتم آن است. هدف از انجام این طرح، بسط و پیاده‌سازی الگوریتم Convolution در قالب یک کد و به دنبال آن بررسی میزان دقت مقادیر محاسباتی دوز توسط این کد نسبت به مقادیر تجربی بود.

**روشن‌ها:** در این طرح از روش Convolution پراکندگی کامل استفاده شد. با در نظر گرفتن یک فانتوم در ابعاد  $11/5 \times 11/5 \times 11/5$  سانتی‌متر مکعب و اعمال فیلد سایزهای  $3 \times 3 \times 5$  و  $5 \times 5 \times 10$  سانتی‌متر مریع بر روی سطح آن، کد مربوط توسط برنامه‌ی MATLAB نوشته شد. انرژی فوتون‌های ورودی نیز  $6$  مگا الکترون ولت در نظر گرفته شد. نتایج درصد دوز عمقی با مقادیر تجربی مقایسه گردید.

**یافته‌ها:** میانگین میزان درصد اختلاف‌ها برای فیلد سایز  $3 \times 3$  سانتی‌متر مریع برابر با  $1/527$  درصد، برای فیلد سایز  $5 \times 5$  سانتی‌متر مریع برابر با  $1/51$  درصد و برای فیلد سایز  $10 \times 10$  سانتی‌متر مریع برابر با  $3/00$  درصد به دست آمد.

**نتیجه‌گیری:** مقادیر درصد اختلاف دوز بین مقادیر محاسبه شده توسط کد و مقادیر تجربی برای هر سه فیلد سایز  $3 \times 3$ ،  $5 \times 5$  و  $10 \times 10$  سانتی‌متر مریع کمتر از  $5$  درصد بود. با توجه به توصیه‌های AAPM TG-53 (American association of physicists in medicine task group 53) است که در محدوده‌ی قابل قبولی می‌باشند.

**وازگان کلیدی:** سیستم طراحی درمان، پرتو درمانی، الگوریتم Convolution

رساندن دوز کافی پرتو به محل سلول‌های سرطانی، آن‌ها را نابود کرد و از رسیدن پرتو به سلول‌های بافت سالم تا حد امکان جلوگیری کرد و آن‌ها را حفظ نمود (۲-۳). بنابراین محاسبه‌ی مقدار دوز رسیده به بافت سرطانی و بافت‌های سالم مجاور آن قبل از اعمال پرتو به بدن بیمار از اهمیت بالایی برخوردار می‌باشد (۴). عملیات محاسبه‌ی دوز در گذشته به صورت محاسبات دستی انجام می‌گرفت که به دلیل پیچیدگی

### مقدمه

امروزه بیماری سرطان یکی از شایع‌ترین بیماری‌های انسان به شمار می‌رود (۱). یکی از روش‌های اصلی که در درمان انواع مختلف سرطان به کار گرفته می‌شود، پرتو درمانی است (۲-۳). پرتو درمانی روشی است که در آن از پرتوهای یونیزان جهت نابودی سلول‌های سرطانی استفاده می‌شود (۴). هدفی که در پرتو درمانی دنبال می‌شود این است که با استفاده از

<sup>۱</sup> استادیار، گروه فیزیک و مهندسی پزشکی، دانشکده پزشکی اصفهان، اصفهان، ایران

<sup>۲</sup> استاد، گروه فیزیک و مهندسی پزشکی، دانشکده پزشکی، دانشگاه علوم پزشکی اصفهان، اصفهان، ایران

<sup>۳</sup> دانشجوی کارشناسی ارشد، گروه فیزیک و مهندسی پزشکی، دانشکده پزشکی و کمیته تحقیقات دانشجویی، دانشگاه علوم پزشکی اصفهان، اصفهان، ایران

<sup>۴</sup> نوبنده‌ی مسؤول: دکتر کیوان جباری Email: jabbari@med.mui.ac.ir

ارائه‌ی نرم‌افزاری دارند که تا حد امکان دارای قابلیت‌های زیاد و ایرادات کمی باشد و به طور کلی کاربرپسندتر باشد. از این رو با توجه به محدودیت‌ها و نواقص موجود در نرم‌افزارهای مورد استفاده، تصمیم به پایه ریزی و نوشتن یک کد محاسبه‌ی دوز داخلی گرفته شد.

هدف از انجام این پروژه، بسط و پیاده‌سازی الگوریتم Convolution برای محاسبه‌ی دوز در طراحی درمان بود. این قدم یکی از مهم‌ترین و اولین قدم‌ها برای طراحی یک نرم‌افزار محاسبه‌ی دوز محسوب می‌شود.

## روش‌ها

### بسط روابط

در این تحقیق برای محاسبه‌ی دوز از روش Convolution پراکنده‌گی کامل (FSC) یا Frequency sampling convolution استفاده شد. این الگوریتم به داده‌های ورودی کمتری نسبت به الگوریتم‌های دیگر نیاز دارد.

شكل کلی انگرال محاسبه‌ی دوز به روش Convolution به شکل زیر است:

$$D(\vec{r}) = \iiint_V \emptyset(\vec{r}') K(\vec{r} - \vec{r}') dV'$$

که  $\emptyset$  به شار فوتون‌های اولیه،  $V$  حجم کل مورد محاسبه و  $K(\vec{r} - \vec{r}')$  کرنل فوتون‌های تابشی که توزیع دوز را در اطراف محل برهم‌کنش اولیه مشخص می‌نمایند، می‌باشدند (۱۰).

الگوریتم Convolution بر اساس جداسازی سهم اشعه‌ی اولیه و پراکنده شده به محاسبه‌ی دوز می‌پردازد (۸).

و تعدد بر هم کنش‌های پرتو با ماده، امروزه با استفاده از کامپیوتر و از طریق نرم‌افزارهای مختلف طراحی درمان انجام پذیر است (۶). پایه‌ی اصلی یک سیستم طراحی درمان، الگوریتم محاسباتی آن است. زیربنای بسیاری از تصمیمات کلینیکی که بر اساس توزیع دوز در بدن بیمار گرفته می‌شود، الگوریتم محاسبه‌ی دوز می‌باشد (۷).

الگوریتم روش Convolution به دلیل دارا بودن سرعت بالا و دقت قابل قبول در اکثر سیستم‌های طراحی درمان جهت محاسبه‌ی دوز به کار گرفته می‌شود (۸). هسته‌ی اصلی این الگوریتم را کرنل تشکیل می‌دهد (۹). این روش شاهد پیشرفت‌های چشم‌گیری در زمینه‌ی محاسبه‌ی دوز با سرعت و دقت بالا بوده است. Boyer و Mok با به کار بردن روش Convolution به محاسبه‌ی دوز پرتوهای فوتونی Co-60 در یک فانتوم همگن پرداختند و نتایج قابل قبولی را در مقایسه با داده‌های تجربی و شبیه‌سازی شده توسط کد مونته کارلو به دست آورده‌اند (۱۰). همچنین آن‌ها این روش را برای محاسبه‌ی دوز فوتونی در فانتوم دارای ناهمگنی نیز به کار برندند و نتایج را با داده‌های تجربی مقایسه نمودند و دقت  $\pm 2\%$  درصد را گزارش نمودند (۱۱). و همکاران نیز روش Convolution را برای محاسبه‌ی دوز فوتونی با انرژی ۱۵ مگا الکترون ولت به کار برندند و توافق خوبی را بین داده‌های محاسبه شده و مقادیر تجربی مشاهده نمودند (۱۲).

در حالی که تعداد زیادی از نرم‌افزارهای منبع باز در دنیا وجود دارد، هنوز محققین در حال طراحی نرم‌افزارهای جدید می‌باشند و با اضافه کردن امکانات ویژه و رفع ایرادات نسخه‌ی قبلی نرم‌افزار سعی در

. است (۱۳). (Scatter-maximum ratio)

با جمع روابط مربوط به دوز پرتوهای اولیه و پراکنده، مقدار دوز کلی هر نقطه به دست می‌آید.

### MATLAB کد نویسی با نرم‌افزار

کلیه‌ی روابط به دست آمده‌ی فوق به همراه تمامی داده‌های ورودی مورد نیاز الگوریتم با استفاده از نرم‌افزار MATLAB (version 7.12.0.635(R2011a)) کدنویسی، تست و اجرا شد. کدی جهت ایجاد یک فانتوم آب همگن به ابعاد  $11/5 \times 11/5 \times 11/5$  سانتی متر مکعب نوشته شد. فانتوم مورد نظر جهت محاسبه‌ی دوز مورد استفاده قرار گرفت. در این تحقیق انرژی فوتون‌های ورودی ۶ مگا الکترون ولت در نظر گرفته شد.

به دلیل این که نرم‌افزارهای برنامه‌نویسی مانند MATLAB قادر به انجام محاسبات در محدوده‌ی بازه‌های پیوسته (همانند عمل انتگرال‌گیری) نیستند، فانتوم ایجاد شده توسط کدهای خاصی به قطعات هم اندازه و بسیار کوچکی به نام وکسل تقسیم‌بندی شد. ابعاد هر یک از وکسل‌ها  $0/5 \times 0/5 \times 0/5$  سانتی متر مکعب در نظر گرفته شد. همچنین مختصات مرکز هر یک از وکسل‌ها (نقاط مؤثر وکسل‌ها) به عنوان داده‌های مورد استفاده در تمامی محاسبات کد اصلی به دست آورده شد.

الگوریتمی جهت محاسبه‌ی توان توقف جرمی در نقطه‌ی دلخواه نوشته شد. با استفاده از روابط موجود در منابع مختلف، فاکتور پراکنده‌ی دیفرانسیلی Klein-Nishina محاسبه شد و به همراه مقدار توان توقف جرمی جهت به دست آوردن مقدار کرنل پرتوهای اولیه در رابطه‌ی مربوط قرار داده شد.

$$D = D_p + D_s$$

که در این رابطه  $D_p$  دوز پرتوهای اولیه و  $D_s$  دوز پرتوهای پراکنده شده می‌باشد.

دوز پرتوهای اولیه از رابطه زیر به دست می‌آید:

$$D_p(x, y, z) = \frac{D_c SCD^2 TMR_0(d_r)}{x^2 + y^2 + (SAD - z)^2} \frac{S_p(0)}{S_p(A_c)} Pen(x, y, z)$$

که در آن  $D_c$  دوز نقطه‌ی کالیبراسیون،  $SCD$  فاصله‌ی نقطه‌ی کالیبراسیون تا منبع پرتو (Source to calibration distance)،  $TMR_0$  نسبت حداکثر بافت در فیلد (Tissue maximum ratio) سایز  $0 \times 0$  سانتی متر مربع،  $S_p(0)$  فاکتور پراکنده‌ی فانتوم برای فیلد سایز  $0 \times 0$  سانتی متر مربع،  $S_p(A_c)$  فاکتور پراکنده‌ی فانتوم برای فیلد سایز در نقطه‌ی کالیبراسیون،  $Pen$  تابع نیم سایه که از تقسیم کرنل هر نقطه به کرنل نقطه‌ی کالیبراسیون به دست می‌آید،  $SAD$  فاصله‌ی منبع تا ایزوستر (Source axis distance) و  $(x, y, z)$  مختصات نقطه‌ی مورد نظر می‌باشد (۱۲).

رابطه‌ی مربوط به محاسبه‌ی کرنل برای هر نقطه

نیز در زیر آمده است:

$$K_p(\vec{r} - \vec{r}') = \rho_e \frac{d\sigma}{d\Omega}(\vec{r} - \vec{r}') \frac{dE}{dxdy}(\vec{r} - \vec{r}') \frac{1}{1+\alpha} \frac{1+(1+\cos\theta)\sin\theta}{\sin^3\theta}$$

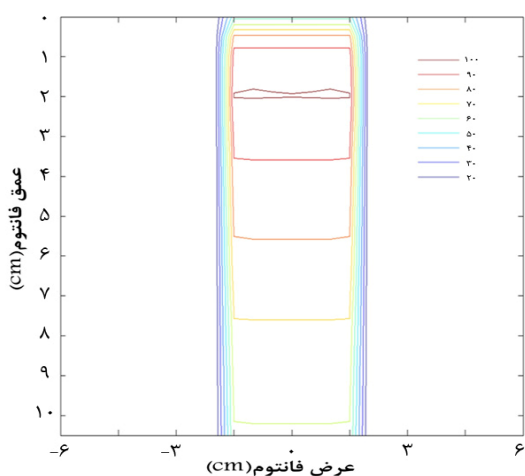
که در این رابطه  $\rho_e$  چگالی الکترونی،  $\frac{d\sigma}{d\Omega}(\vec{r} - \vec{r}')$  فاکتور پراکنده‌ی دیفرانسیلی Klein-Nishina برای نقطه‌ی  $\vec{r}' - \vec{r}$   $\frac{dE}{dxdy}(\vec{r} - \vec{r}')$  توان توقف سازی جرمی الکترون‌هایی که در نقطه‌ی  $\vec{r}' - \vec{r}$  انرژی خود را از دست می‌دهند،  $\alpha$  نسبت انرژی فوتون‌های اولیه به جرم سکون الکترون،  $\theta$  زاویه‌ی پراکنده‌ی فوتون‌ها و  $\theta'$  زاویه‌ی پراکنده‌ی الکترون‌ها می‌باشد (۱۱).

دوز پرتوهای پراکنده از رابطه‌ای که در زیر آمده است، محاسبه می‌شود:

$$D_s(\vec{r}) \approx \frac{D_p(\vec{r})}{TMR_0(d_r)Pen(\vec{r})} \iint_{S_A} TMR_0(d_r')Pen(\vec{r}')SMR(d_r', \vec{r} - \vec{r}') dA'$$

که در آن  $SMR$  نسبت ماقزیم پراکنده‌ی

در عمق‌های مختلف به دوز نقطه‌ی ماکزیمم می‌باشد. جهت به دست آوردن مقادیر درصد دوز عمقی نقاط قرار گرفته بر روی محور مرکزی، دوز کلی نرمالیزه شده‌ی این نقاط (متناظر با مقادیر (:، ۱۲، ۱۲) از ماتریس دوز کلی) انتخاب گردید و بر حسب درصد محاسبه و ذخیره شد. این مقادیر با مقادیر درصد دوز عمقی تجربی مقایسه و میزان تفاوت آن‌ها بر حسب درصد به دست آورده شد. جدول ۱ درصد اختلاف بین مقادیر دوز محاسبه شده توسط کد و مقادیر تجربی برای سه فیلد سایز  $3 \times 5$  و  $10 \times 10$  سانتی‌متر مربع را نشان می‌دهد.



شکل ۱. منحنی ایزو دوز به دست آمده برای فیلد سایز  $3 \times 3$  سانتی‌متر مربع و نقاط قرار گرفته در صفحه‌ی عمودی وسط فانтом

نمودارهای درصد دوز عمقی برای این سه فیلد سایز بر حسب عمق در شکل‌های ۲ تا ۴ نشان داده شده‌اند. همچنین نمایی  $3 \times 3$  بعدی از دوز کلی نرمالیزه شده برای نقاط قرار گرفته در صفحه‌ی عمودی وسط فانтом، برای فیلد سایز  $3 \times 3$  سانتی‌متر مربع در شکل ۵ آمده است.

پس از محاسبه‌ی کرنل تمامی مراکز و ثبت آن‌ها، نقطه‌ی کالیبراسیون با مختصات  $(1/5, 0, 0)$  تعیین گردید. تمامی کرنل‌های به دست آمده به کرنل نقطه‌ی کالیبراسیون تقسیم شدند و حاصل آن‌ها به عنوان مقدار تابع نیمسایه در آن نقطه محاسبه و ثبت شد.

$SCD$  برابر  $100$  سانتی‌متر در نظر گرفته شد. با به کارگیری رابطه‌ی مربوط به دوز اولیه، مقادیر  $TMR_0$  مربوط به نقاط مختلف،  $SCD$  و مختصات مراکز و کسل‌ها، دوز مربوط به پرتوهای اولیه ( $D_p$ ) محاسبه و در ماتریس مربوط ذخیره شد. به همین منوال دوز پرتوهای پراکنده و دوز کلی پرتوها نیز به دست آورده شد و در ماتریس مربوط به آن‌ها ذخیره گردید.

مقادیر محاسبه شده به وسیله الگوریتم با داده‌های تجربی مقایسه و دقت آن در شرایط مختلف مشخص شد. مقادیر تجربی دوز از داده‌های به دست آمده (درصد دوز عمقی) توسط چمبر فارمر موجود در بیمارستان استخراج شدند و جهت ارزیابی مقادیر دوز محاسباتی کد در فیلد سایزهای مختلف مورد استفاده قرار گرفتند.

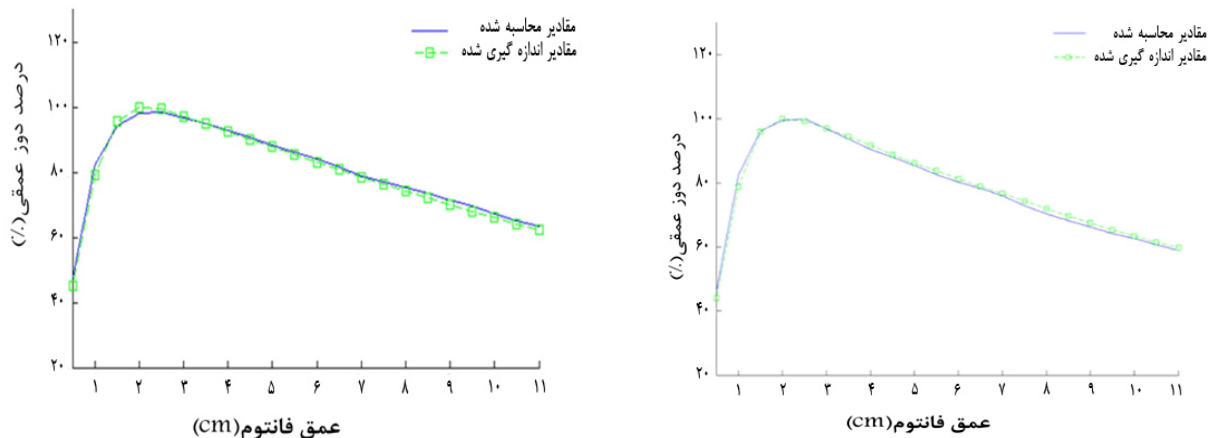
## یافته‌ها

با در نظر گرفتن نقاط هم دوز (نقاطی که دارای دوز کلی یکسانی بودند)، در صفحه‌ی عمودی وسط فانтом (نقاط متناظر با (:، ۱۲، ۱۲) در ماتریس دوز کلی) برای هر سه فیلد سایز منحنی‌های ایزو دوز به دست آمد. شکل ۱ منحنی ایزو دوز فیلد سایز  $3 \times 3$  سانتی‌متر مربع را نشان می‌دهد.

درصد دوز عمقی نشان‌دهنده‌ی نسبت دوز نقاط

جدول ۱. درصد اختلاف بین مقادیر دوز محاسبه شده توسط کد و مقادیر تجربی برای سه فیلد سایز  $3 \times 5 \times 5$  و  $10 \times 10 \times 10$  سانتی‌متر مربع

عمق (میلی‌متر)	فیلد سایز $3 \times 3 \times 3$	فیلد سایز $5 \times 5 \times 5$	درصد اختلاف: فیلد سایز $10 \times 10 \times 10$
۰	۴/۶۶	۴/۸۲	۴/۲۰
۵	۴/۶۰	۳/۷۴	۴/۹۸
۱۰	۰/۱۸	۱/۶۲	۰/۱۳
۱۵	۰/۵۶	۱/۹۴	۲/۰۳
۲۰	۰/۷۸	۱/۱۱	۳/۲۱
۲۵	۰/۲۱	۱/۴۵	۱/۸۸
۳۰	۰/۸۰	۰/۰۰	۰/۸۵
۳۵	۱/۵۶	۰/۳۷	۰/۵۹
۴۰	۰/۸۹	۰/۵۳	۱/۱۱
۴۵	۰/۹۲	۰/۶۳	۱/۴۴
۵۰	۱/۵۷	۰/۹۲	۲/۳۳
۵۵	۱/۲۷	۱/۱۸	۲/۶۳
۶۰	۱/۸۵	۱/۸۴	۲/۳۲
۶۵	۱/۸۷	۱/۵۷	۲/۰۰
۷۰	۱/۸۹	۱/۰۱	۲/۸۹
۷۵	۲/۲۴	۱/۵۲	۳/۹۰
۸۰	۰/۰۲	۲/۰۲	۴/۴۷
۸۵	۱/۷۳	۲/۳۸	۴/۷۷
۹۰	۱/۹۴	۲/۳۹	۵/۳۵
۹۵	۱/۱۵	۲/۰۳	۵/۱۱
۱۰۰	۱/۲۴	۱/۵۷	۴/۹۴
۱۰۵	۱/۵۹	۱/۶۳	۴/۸۵
میانگین	۱/۵۲	۱/۵۱	۳/۰۰

شکل ۳. نمودار مقادیر درصد دوز عمقی محاسبه شده توسط کد و مقادیر تجربی برای فیلد سایز  $3 \times 3 \times 3$  سانتی‌متر مربعشکل ۲. نمودار مقادیر درصد دوز عمقی محاسبه شده توسط کد و مقادیر تجربی برای فیلد سایز  $3 \times 5 \times 5$  سانتی‌متر مربع

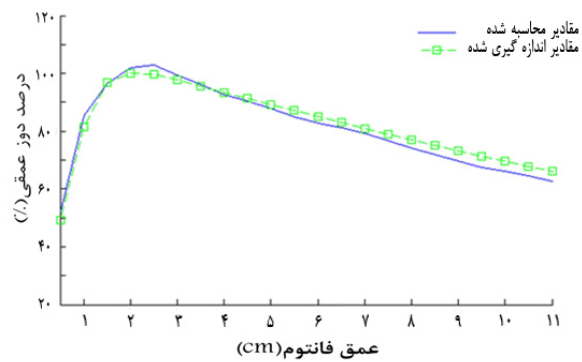
$3 \times 3$  سانتی متر مربع برابر با  $1/527$  درصد، برای فیلد سایز  $5 \times 5$  سانتی متر مربع برابر با  $1/51$  درصد و برای فیلد سایز  $10 \times 10$  سانتی متر مربع برابر با  $3/00$  درصد به دست آمد.

### بحث

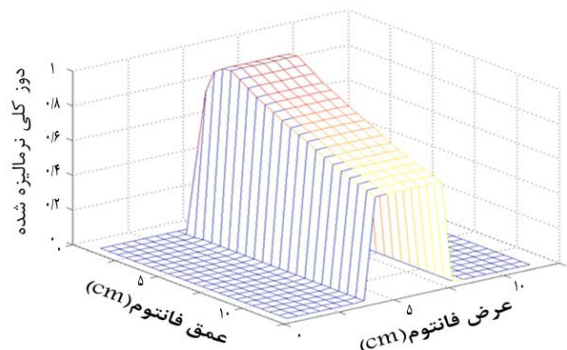
نتایج به دست آمده برای کرنل پرتوهای اولیه حاکی از آن بود که این کرنل مقادیری بسیار کوچک و نزدیک به هم را در خود جای داده است. این مقادیر از مرتبه  $-24$  بود که حتی در کناره‌های فیلد تابشی نیز کوچک‌تر هم می‌شد. این مقادیر با افزایش عمق روند رو به رشدی داشتند.

در وکسل‌های کناره‌ی فیلد تابشی، با این که تابشی روی آن‌ها انجام نشد، ولی باز هم مقادیر کم کرنل در این نقاط به چشم می‌خورد. در عمق‌های ابتدایی دهانه‌ی کرنل به اندازه‌ی فیلد سایز باز شد، ولی در عمق‌های پایین‌تر دهانه‌ی کرنل کمی بازتر از اندازه‌ی فیلد سایز بود. در سطح ابتدایی فانتوم مقادیر کرنل فیلد سایز  $3 \times 3$  سانتی متر مربع در کناره‌های فیلد سایز، مقدار صفر را داشت؛ ولی در سطح انتهایی آن، مقدار آن برای نقاط کناری فیلد جزیی بود، ولی صفر نبود. با انجام برش‌های گوناگون به صورت صفحات عمودی وسط فانتوم و صفحات کناری آن‌ها، مشخص شد که کرنل شکلی متقارن داشت و توزیع آن در فضای ۳ بعدی یک توزیع متقارن بود.

آن چه که از جدول و شکل‌های مربوط به  $3 \times 3$  فیلد  $3 \times 3$ ،  $5 \times 5$  و  $10 \times 10$  سانتی متر مربع در مورد دوز کلی نرماییزه شده به دست می‌آید، این است که همانند دوز اولیه و پراکنده، در کناره‌های فیلد تابشی افت آنی دوز وجود نداشت و در نقاط اطراف فیلد مقدار کمی



شکل ۴. نمودار مقادیر درصد دوز عمقی محاسبه شده توسط کد و مقادیر تجربی برای فیلد سایز  $10 \times 10$  سانتی متر مربع



شکل ۵. نمایی ۳ بعدی از دوز کلی نرماییزه شده برای فیلد سایز  $3 \times 3$  سانتی متر مربع و نقاط قرار گرفته در صفحه‌ی عمودی وسط فانتوم

بیشترین درصد اختلاف بین مقادیر درصد دوز عمقی محاسبه شده و مقادیر تجربی برای این سه فیلد سایز برابر با  $4/662$ ،  $4/829$  و  $5/351$  درصد (به ترتیب مربوط به عمق‌های صفر، صفر و  $9$  سانتی متر) بود. بیشترین این اختلاف‌ها مربوط به فیلد سایز  $10 \times 10$  سانتی متر مربع بود.

همچنین کمترین درصد اختلاف مشهود برای این سه فیلد سایز به ترتیب برابر با  $0/189$ ،  $0/004$  و  $0/137$  بود که مربوط به عمق‌های  $1$ ،  $3$  و  $1$  سانتی متر بودند. کمترین این اختلاف‌ها مربوط به فیلد سایز  $5 \times 5$  سانتی متر مربع است.

میانگین میزان درصد اختلاف‌ها برای فیلد سایز

از آن بود که درصد اختلاف بین مقادیر تجربی و مقادیر محاسباتی حدود  $2 \pm$  درصد بوده است که این درصد اختلاف نزدیک به میانگین درصد اختلاف به دست آمده برای  $3$  فیلد سایز مذکور می‌باشد (۱۰). نتایج مطالعه‌ی Mackie و همکاران نشان‌دهنده‌ی درصد تفاوت  $1-10$  درصد بین مقادیر محاسبه شده و تجربی بود (۱۲). مقادیر به دست آمده توسط آن‌ها در عمق‌های کم دارای تفاوت بیشتری با مقادیر تجربی بود و در عمق‌های پایین‌تر از تفاوت کمتری برخوردار بود که با نتایج به دست آمده در تحقیق حاضر هم خوانی دارد.

به طور کلی با توجه به توصیه‌های ذکر شده در AAPM TG-53 مبنی بر کمتر از  $5$  درصد بودن درصد اختلاف بین مقادیر محاسباتی و تجربی (۱۲)، در این مطالعه میانگین درصد اختلاف برای هر  $3$  فیلد سایز از  $5$  درصد کمتر بود و اکثر نقاط در  $3$  فیلد سایز دارای درصد اختلاف کمتر از  $5$  درصد بودند. بنابراین مقادیر محاسباتی توسط کد در محدوده‌ی قابل قبولی بودند و کد نوشته شده برای این  $3$  فیلد سایز ممکن است کارآمد باشد.

### نتیجه‌گیری

کد نوشته شده‌ی حاضر به محاسبه‌ی دوز نقاط کل فانتوم می‌پردازد. اکثر نتایج حاصل از این کد از نقطه نظر فیزیکی قابل توجیه هستند و با منابع موجود در این زمینه هم خوانی مناسبی دارند.

مقادیر درصد اختلاف دوز بین مقادیر محاسبه شده توسط کد و مقادیر تجربی برای هر سه فیلد سایز  $3 \times 3$ ،  $3 \times 5$  و  $5 \times 10$  کمتر از  $5$  درصد بود و با توجه به توصیه‌های AAPM TG-53، این مقادیر در محدوده‌ی قابل قبولی می‌باشند.

دوز وجود داشت.

در شکل‌های  $2$  تا  $4$  دوز سطحی با افزایش عمق، افزایش یافت تا به نقطه‌ی ماقریم رسید و پس از آن دوز شروع به کاهش کرد، که این موضوع به خوبی با منحنی‌های موجود در این زمینه هم خوانی دارد.

منحنی‌های ایزو دوز به دست آمده برای  $3$  فیلد مذکور، نشان از افزایش نفوذ پرتو و انتقال دوز به اعمق پایین‌تر در نتیجه‌ی افزایش اندازه‌ی فیلد سایز دارند. همچنین موضوع دیگری که از این نمودارها می‌توان دریافت، این است که منحنی ایزو دوز  $50$  درصد در هر  $3$  فیلد سایز بر روی سطح فانتوم به نقاطی ختم شد که لبه‌های فیلد سایز بر روی آن‌ها قرار گرفته بود. این یافته نیز با مطالب ذکر شده در منابع مربوط توافق داشت و قابل توجیه می‌باشد.

با توجه به مقادیر به دست آمده و نمودارهای ترسیم شده برای درصد دوز عمقی  $3$  فیلد مورد بحث، چنین استنباط می‌شود که مقادیر محاسبه شده توسط کد و مقادیر تجربی در فیلد سایزها کوچک‌تر، توافق بهتری نسبت به فیلد سایز بزرگ‌تر دارند و مقدار درصد اختلاف برای آن‌ها کمتر می‌باشد.

بهترین هم خوانی بین مقادیر محاسباتی و تجربی را فیلد سایز  $5 \times 5$  سانتی‌متر مربع با میانگین درصد اختلاف  $1/516$  درصد در اختیار داشت و بیشترین تفاوت‌ها مربوط به فیلد سایز  $10 \times 10$  سانتی‌متر مربع با میانگین درصد اختلاف  $3$  درصد بود.

همچنین مقدار درصد اختلاف بین مقادیر محاسباتی و تجربی در عمق‌های کم فانتوم برای هر  $3$  فیلد سایز زیاد بودند و بیشترین مقادیر درصد اختلاف در محدوده‌ی عمق‌های کم قرار گرفتند.

نتایج به دست آمده توسط Boyer و Mok حاکی

### تشکر و قدردانی

از استادان گروه فیزیک پزشکی دکتر شهبازی و دکتر سلامت جهت راهنمایی و بهبود کیفیت این پژوهه و مقاله قدردانی می‌شود. این مقاله حاصل پایان نامه‌ی کارشناسی ارشد به شماره‌ی طرح ۳۹۰۵۱۱ دانشکده‌ی پزشکی دانشگاه علوم پزشکی اصفهان می‌باشد.

پیشنهاد می‌شود محاسبه‌ی دوز توسط این روش با در نظر گرفتن اثر طیفی پرتوهای فوتونی مورد مطالعه قرار گیرد. همچنین محاسبه‌ی دوز برای فانتوم دارای ناهمگنی و یا اثر استفاده از فیلد و فیلترهای جبران کننده در فیلدهای مختلف، نیاز به تحقیق بیشتری در این زمینه دارد.

### References

1. Jemal A, Siegel R, Ward E, Hao Y, Xu J, Thun MJ. Cancer statistics, 2009. CA Cancer J Clin 2009; 59(4): 225-49.
2. Li J, Zhang T. Implementation of convolution/superposition model of photon dose calculation. In: Peng Y, Weng X, editors. 7<sup>th</sup> Asian-Pacific Conference on Medical and Biological Engineering: APCMBE 2008, 22-25 April 2008, Beijing, China. Berlin, Germany: Springer; 2008. p. 442-6.
3. Wieslander E. Verification of dose calculation algorithms in treatment planning systems for external radiation therapy: a Monte Carlo approach. Lund, Sweden: Lund University; 2006. p. 9-11.
4. International Agency for Research on Cancer. Role of Radiotherapy in Cancer Management World Cancer Report 2003. Geneva, Switzerland: WHO; 2003.
5. Sharpe MB, Battista JJ. Dose calculations using convolution and superposition principles: the orientation of dose spread kernels in divergent x-ray beams. Med Phys 1993; 20(6): 1685-94.
6. Kim KP. Inhalation dose assessment: risk assessment of airborne particulates to workers in the Florida phosphate industry. Gainesville, FL: University of Florida; 2005. p. 170-4.
7. Dyk JV. The modern technology of radiation oncology: a compendium for medical physicists and radiation oncologists. Madison, USA: Medical Physics Publishing; 2005. p. 231-86.
8. Khan FM. Treatment planning in radiation oncology. 2<sup>nd</sup> ed. Minnesota, USA: Lippincott Williams & Wilkins; 2007. p. 64-77.
9. Papanikolaou N. Clinical photon beam treatment planning using convolution and superposition. Madison, USA: University of Wisconsin-Madison; 1994.
10. Boyer A, Mok E. A photon dose distribution model employing convolution calculations. Med Phys 1985; 12(2): 169-77.
11. Boyer AL, Mok EC. Calculation of photon dose distributions in an inhomogeneous medium using convolutions. Med Phys 1986; 13(4): 503-9.
12. Mackie TR, Scrimger JW, Battista JJ. A convolution method of calculating dose for 15-MV x rays. Med Phys 1985; 12(2): 188-96.
13. Topslane Co. Dose calculation algorithm. WIMRT user's manual. Clearwater, FL: Topslane Co; 2005. p. 92-102.

## Development and Implementation of the Convolution Method for Photon Dose Calculation in Radiation Therapy

Keyvan Jabbari PhD<sup>1</sup>, Mohamad Bagher Tavakoli PhD<sup>2</sup>, Sayed Mojtaba Hosseini<sup>3</sup>

### Abstract

**Background:** One of the most widely used methods in cancer treatment is radiation therapy. In radiation therapy, the goal is to deliver maximum dose to the cancerous tissue and the least amount to adjacent normal tissue. Therefore, it is important to calculate radiation doses received by different points of body. These calculations are performed by treatment planning systems. The aim of this project was to develop and implement the convolution algorithm in the form of a code. The accuracy of doses calculated by the code was then compared with experimental values.

**Methods:** Full scatter convolution method was used in this project. Considering a phantom with dimensions of  $11.5 \times 11.5 \times 11.25 \text{ cm}^3$  and field sizes of  $3 \times 3$ ,  $5 \times 5$ , and  $10 \times 10 \text{ cm}^2$  on its surface, the code was written by MATLAB program. Incident photon energy was considered as 6 MeV. Finally, percentage depth dose values were compared with experimental values.

**Findings:** The mean percent difference values were 1.527%, 1.51%, and 3.00% for field sizes of  $3 \times 3$ ,  $5 \times 5$ , and  $10 \times 10 \text{ cm}^2$ , respectively.

**Conclusion:** Percentage differences between the doses calculated by the code and experimental values were less than 5% for all three field sizes. According to the recommendations of Task Group 53 of the Radiation Therapy Committee of the American Association of Physicists in Medicine, the values were in the acceptable range.

**Keywords:** Radiotherapy planning, Radiation therapy, Photons, Convolution algorithm

<sup>1</sup> Assistant Professor, Department of Medical Physics and Engineering, School of Medicine, Isfahan University of Medical Sciences, Isfahan, Iran.

<sup>2</sup> Professor, Department of Medical Physics and Engineering, School of Medicine, Isfahan University of Medical Sciences, Isfahan, Iran.

<sup>3</sup> MSc Student, Department of Medical Physics and Engineering, School of Medicine AND Student Research Committee, Isfahan University of Medical Sciences, Isfahan, Iran.

**Corresponding Author:** Keyvan Jabbari PhD, Email: jabbari@med.mui.ac.ir